

### III-52 角のある壁を砂に押し込む場合のすべり面について

東京大学工学部 正員 最上 武雄  
同 上 正員 O. 土谷 尚

従来の土圧論はクロン、ラニキニ系統のもとへが主であったが、これ等は二次元的な現象しか扱っていなかった。三次元的に扱う必要のある問題は、それを街とか三次元的な問題に置き替えて実用的に解決していった訳である。しかし実際に出合う土圧問題の問題にはこういう二三次元への置替えが無理な、即ち土圧を三次元的に取扱わざるを得ない様な問題を数多くある。そこでモデル実験にてとして取上げた“角のある壁を砂に押し込んだ場合”もこういう現象の中の一と考えられる。

土圧を三次元的に論ずる事は現在迄のところ殆んど行われてない様であるし、又極めて難しい問題であると予想される事から、いずれは何か理論づけてこそ必要があるとしても先づ起つてこの現象を良く知り、よく事が大切であると考え、今回のモデル実験を行う事になった。予備的な実験であるが目標をすべり面の形状を調べる事に絞り、次いで写真により砂表面の動きを観察した。この実験は今後も引き續けて行われる予定で、次には土圧關係を調べる予定にする。

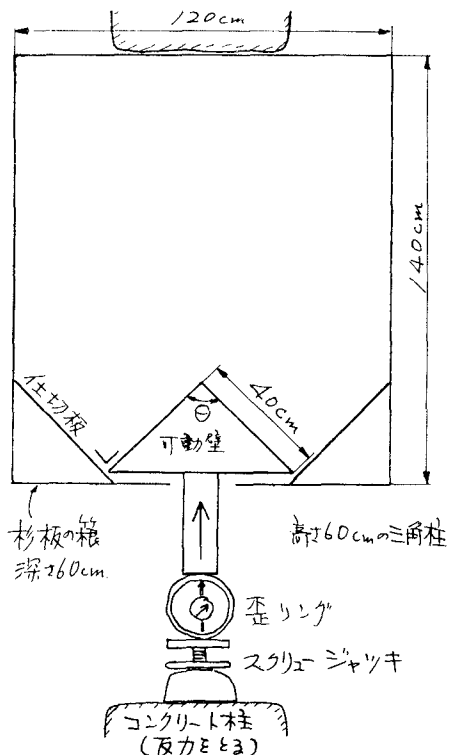
② 実験方法：右図は実験装置の平面図である。頂角 $\theta$ を持った三角柱の可動壁を厚さ34 cmの水平な砂層に押し込み、すべり面を発生させ、その形状、砂表面の動きを観察した。可動壁は $\theta = 60^\circ, 90^\circ$ 及び $120^\circ$ の三種のものを用意した。θの達成による影響を見ようとした試験である。

・使用した砂：普通の川砂を2回水洗いし屋外で自然乾燥したもの。バイオレッターベースペクターによる様に心懸けて繕お固めた。各束毎の平均密度は $1.658 \text{ g/cm}^3 \pm 1\%$ 程度。

この時の安息角 $\phi = 41^\circ$

・すべり面の測定：中6 mm程度のビニールパイプに二クロム線ヒラフィンをつめ、まっすぐに仕上げる。これを下端を固定し垂直に砂中に立てる。ニクロム線に電流を通じヒラフィンを解かしてから可動壁を押し込みすべり面を発生させる。すべり面の所ではセン断力によりパイプが曲がるヒラフィンが曲ってから掘り出せば、その点でのすべり面の高さが分かるというアイディアである。

写真による砂の動きの測定：砂表面に菱形の標識を置く。可動壁を5段階に分けて押し込み、各段階での標識の位置を同一フィルム上に多重露出で写し取り各標識の変位を求めた。最大 $\pm 0.4 \text{ mm}$ 、平均 $0.1 \sim 0.2 \text{ mm}$ の精度を得られた。



## ◎ 実験結果。

(a) 傾角周辺のすべり面の形状はスリバチ型に近く、可動壁の傾角を通じ直面で切るとほぼ直線で表わされる。各実験相互間のバラツキは相当大きいがこれは主として直線の傾斜のバラツキからである。

(b) この傾斜は傾角が小さいほど急になる。クーロン土圧的な考え方から  $\theta = \tan(\frac{\pi}{4} + \phi)$  と置いて求めた「見掛けの内部マッサ角」中には実測した安息角より  $2^\circ$  ( $\theta = 120^\circ$  時) へ  $6^\circ$  ( $\theta = 60^\circ$ ) の差がある。

(各回について8回行った実験の平均値)

(c) 可動壁の押し込み量を  $\Delta l_w$  りの時さの砂の移動量を  $\Delta l_s$  とする

$$\begin{aligned}\theta = 60^\circ \text{の場合} \quad \Delta l_s &\approx \frac{1}{2} \Delta l_w \\ \theta = 90^\circ, 120^\circ \text{の場合} \quad \Delta l_s &\approx \Delta l_w\end{aligned}\quad \left. \begin{array}{l} \text{z} \cdot \text{近似式} \\ \text{z} \cdot \text{差異} \end{array} \right.$$

$\theta = 60^\circ$  の場合は可動壁と砂の間にすべりが生じており、 $\theta = 90^\circ$  及び  $120^\circ$  の場合は滑りが生じていないと考えられるこの違いは説明出来ず。

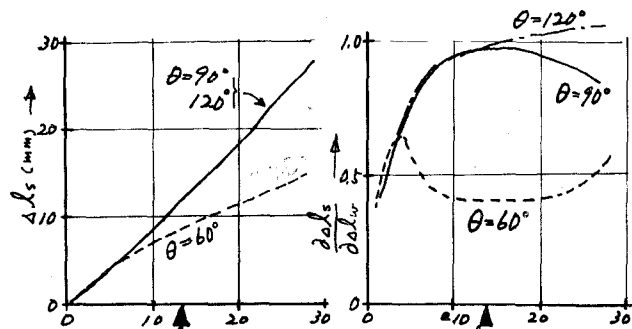
(d) 繰られた写真には水の場合の流線に似た砂の動線(砂の動きでなく方向を表す)が写っており、各回に共通に未払い砂粒子の動きが見て取れる。

○可動壁から離れた所では  $\theta$  が違っても良く似た放射状の動線を示している。別々に行なった実験ではあるがスベリ面の等高線とこの動線を重ね合せるとほぼ直交している。

○可動壁に近い所では

1)  $\theta = 60^\circ$  の場合：砂は壁に垂直に押され、それから壁によるセン断力  $\rightarrow$  Modifyされた感じである。

2)  $\theta = 90^\circ, 120^\circ$  の場合：可動壁の動く方向と砂のそれは一致している。  
3. 長く直角擁壁の一部を押し込んだ場合に似ている。



砂の変位に対する測定例(略図) (▲で示すとすべり面が完成する。)

すべり面の等高線と砂の動線。

